

С.В. Козырев

# ***p*-Адические числа и сложные системы**

Конференция профессоров РАН по ОМН РАН

14, 15, 16 июня 2016, МИАН

Иерархические методы для сложных систем

Иерархия — деревья, билдинги, всплески (вейвлеты),  
ультраметрический анализ, *p*-адические числа.

Многомерные иерархические методы в анализе данных:

Кластеризация — деревья,

Мультикластеризация — сети, билдинги Брюа-Титса и аналоги.

Генетический код — 2-адическая плоскость.

Другие приложения:

Спиновые стёкла, динамика белка, упаковка ДНК.

## *p*-Адические числа

Поле *p*-адических чисел  $\mathbb{Q}_p$  — пополнение поля рациональных чисел по норме

$$|x|_p = p^{-j}, \quad x = p^j \frac{a}{b}, \quad |0|_p = 0.$$

*p*-Адические числа — ряды вида

$$x = \sum_{l=a}^{\infty} x_l p^l, \quad x_l \in \{0, 1, \dots, p-1\}.$$

З.И.Боревич, И.Р.Шафаревич, Теория чисел, 3-е изд., М.: Наука, 1985.

В.С.Владимиров, И. В.Волович, Е.И.Зеленов, *p*-Адический анализ и математическая физика, Наука, М., 1994.

## Ультраметрическое пространство: сильное неравенство треугольника для ультраметрики $d(\cdot, \cdot)$

$$d(x, y) \leq \max(d(x, z), d(z, y)), \quad \forall x, y, z \in X.$$

Свойства неархимедовой геометрии:

все треугольники равнобедренны;

шары не пересекаются либо один содержит другой;

любая точка шара есть его центр.

**Дерево шаров** в (локально компактном)

ультраметрическом пространстве —

шары (ненулевого диаметра либо изолированные точки)

являются вершинами,

ребра — пары шаров вида (шар, максимальный подшар).

Можно обсуждать приложения ультраметрических пространств для описания иерархии в различных задачах.

С. В. Козырев, Ультраметрика в теории сложных систем, ТМФ, 185:2 (2015), 346–360

Шары в  $\mathbb{Q}_p$  имеют вид

$$p^j (n + \mathbb{Z}_p), \quad n = \sum_{l=a}^{-1} n_l p^l, \quad n_l \in \{0, 1, \dots, p-1\},$$

$j$  целое,

$a$  целое отрицательное,

$\mathbb{Z}_p$  есть кольцо целых  $p$ -адических чисел (шар  $|x|_p \leq 1$ ),

$n$  — параметр на  $\mathbb{Q}_p/\mathbb{Z}_p$  — нумерует единичные шары.

$p^j n$  — нумерует шары ненулевого диаметра.

Дерево шаров в  $\mathbb{Q}_p$ : в каждом шаре  $p$  максимальных подшаров в соответствии с разложением

$$\mathbb{Z}_p = \bigcup_{m=0}^{p-1} (m + p\mathbb{Z}_p).$$

## Базис вещественных всплесков в $L^2(\mathbb{R})$ .

Базис всплесков имеет параметризацию сдвигами и растяжениями (фиксированной функции либо конечного набора функций)

$$\psi_{jn}(x) = 2^{j/2} \psi(2^j x - n), \quad x \in \mathbb{R}, \quad j, n \in \mathbb{Z}.$$

Функция  $\psi(x)$  – всплеск (вейвлет). Пример – всплеск Хаара (1909) (разность двух характеристических функций)

$$\psi(x) = \chi_{[0,1/2)}(x) - \chi_{[1/2,1]}(x).$$

Более общие базисы всплесков, кратномасштабный анализ, S.Mallat, Y.Meyer, I.Daubechies, см.

I. Daubechies, Ten Lectures on Wavelets, SIAM, 1992.

Теорема: 1) Базис  $p$ -адических всплесков в  $L^2(\mathbb{Q}_p)$ :

$$\psi_{k;jn}(x) = p^{j/2} \psi_k(p^{-j}x - n),$$

$$x \in \mathbb{Q}_p, \quad j \in \mathbb{Z}, \quad n \in \mathbb{Q}_p/\mathbb{Z}_p, \quad k \in \{1, \dots, p-1\}.$$

$$\psi_k(x) = \psi(kx), \quad \psi(x) = \chi(p^{-1}x)\Omega(|x|_p),$$

где  $\Omega(x)$  есть характеристическая функция  $[0, 1]$

(то есть  $\Omega(|x|_p)$  есть характеристическая функция  $\mathbb{Z}_p$ ),

$\chi$  есть характер

$$\chi(x) = e^{2\pi i \{x\}}, \quad \{x\} = \sum_{l=a}^{-1} x_l p^l, \quad x = \sum_{l=a}^{\infty} x_l p^l.$$

2)  $p$ -Адические всплески — собственные вектора оператора  
Владимирова дробного дифференцирования

$$D^\alpha \psi_{k;jn} = p^{\alpha(1-j)} \psi_{k;jn}.$$

$$D^\alpha f(x) = \Gamma_p^{-1}(-\alpha) \int_{\mathbb{Q}_p} \frac{f(x) - f(y)}{|x - y|_p^{1+\alpha}} d\mu(y), \quad \alpha > 0,$$

$$\Gamma_p(-\alpha) = \frac{p^\alpha - 1}{1 - p^{-1-\alpha}}.$$

*C.B.Козырев, Теория всплесков как  $p$ -адический спектральный анализ. Известия РАН Серия Мат. 2002. Т.66. N.2. С.149–158,  
arXiv:math-ph/0012019*

**Спектры более общих операторов.** Оператор на локально компактном ультраметрическом пространстве  $X$  с борелевской мерой  $\mu$

$$Tf(x) = \int_X t(\sup(x, y))(f(x) - f(y))d\mu(y).$$

$\sup(x, y)$  есть минимальный шар, содержащий точки  $x, y$ .

Собственные вектора – ультраметрические всплески (базис  $\psi_{Ij}$  из локально постоянных функций с нулевым средним с носителями во всевозможных шарах  $I$ ), собственные значения

$$T\psi_{Ij} = \lambda_I \psi_{Ij},$$

$$\lambda_I = t(I)\mu(I) + \sum_{J>I} t(J)(\mu(J) - \mu(J, I)),$$

$(J, I)$  – максимальный подшар в  $J$ , содержащий  $I$ .

## Отображение Монна (связь вещественных и $p$ -адических всплесков Хаара)

$$\mathbb{Q}_p \rightarrow \mathbb{R}_+,$$

$$\mathbb{Q}_p/\mathbb{Z}_p \rightarrow \mathbb{Z}_+,$$

$$\sum_{l=a}^{\infty} x_l p^l \mapsto \sum_{l=a}^{\infty} x_l p^{-l-1}.$$

Малые  $p$ -адические расстояния отображаются на малые вещественные. Взаимно однозначно почти всюду и сохраняет меру.

$p = 2$ : Базис Хаара на положительной полуоси переходит в 2-адический базис всплесков почти всюду.

Вещественный базис всплесков имеет иерархическую структуру.

Другое применение отображения Монна –  $p$ -адическая параметризация матрицы Паризи в теории спиновых стёкол.

## Фреймы всплесков как орбиты

Действие аффинной группы

$$f(x) \mapsto |a|_p^{-\frac{1}{2}} f\left(\frac{x-b}{a}\right).$$

Орбита всплеска  $\psi(x) = \chi(p^{-1}x)\Omega(|x|_p)$  совпадает с набором произведений векторов из базиса  $\psi_{k;jn}$  на корни степени  $p$  из единицы.

Параметризация базиса всплесков возникает автоматически. Обобщение — фреймы всплесков как орбиты основных функций (локально постоянных с компактным носителем) с нулевым средним.

**Фреймом**  $\{e_n\}$  в гильбертовом пространстве  $\mathcal{H}$  называется набор векторов в  $\mathcal{H}$ , такой, что:  $\exists A, B > 0: \forall g \in \mathcal{H}$

$$A\|g\|^2 \leq \sum_n |\langle g, e_n \rangle|^2 \leq B\|g\|^2.$$

# Метрики в многомерных $p$ -адических пространствах

Норма в  $\mathbb{Q}_p^d$

$$N_{q_1, \dots, q_d}(z) = \max_{i=1, \dots, d} (q_i |z_i|_p), \quad q_i > 0.$$

Норма ( $A$ -вращение  $N_{q_1, \dots, q_d}$ ,  $A$  есть матрица из  $\mathrm{Gl}_d(\mathbb{Q}_p)$ )

$$N_{q_1, \dots, q_d}^A(z) = N_{q_1, \dots, q_d}(Az).$$

Метрика определена нормой

$$s(x, y) = N(x - y).$$

Пример:  $N_{q_1, \dots, q_d}$ ,  $p^{-1} < q_i \leq 1$ ,  $\mathbb{Z}_p^d$  и  $p\mathbb{Z}_p^d$  – шары, при не равных друг другу  $q_i$  появляются промежуточные шары между  $\mathbb{Z}_p^d$  и  $p\mathbb{Z}_p^d$ .

## Многомерные базисы всплесков как орбиты. Общая схема:

- 1) Метрика в  $\mathbb{Q}_p^d$ .
- 2) Группа автоморфизмов дерева шаров относительно метрики (линейные преобразования плюс сдвиги).
- 3) Базисы и фреймы всплесков как орбиты такой группы.

**Пример:** норма

$$\|z\|_p = \max_{i=1,\dots,d}(|z_i|_p).$$

Группа автоморфизмов дерева шаров — сдвиги; однородные растяжения; линейные преобразования, сохраняющие норму (матрицы с матричными элементами из  $\mathbb{Z}_p$  и  $|\det(\cdot)|_p = 1$ .)

Всплески — произведения характеров  $\mathbb{Q}_p^d$  на характеристические функции шаров, причём характер на шаре делает одно колебание. Таким образом, всплески нумеруются шарами и волновыми векторами (максимальными подшарами в единичной сфере).

**Теорема** Набор функций  $\{\psi_{k;jn}\}$  является ортонормированным базисом в  $L^2(\mathbb{Q}_p^d)$ :

$$\psi_k(x) = \chi(p^{-1}k \cdot x)\Omega(\|x\|_p), \quad x \in \mathbb{Q}_p^d, \quad k \cdot x = \sum_{l=1}^d k_l x_l,$$

$$k = (k_1, \dots, k_d), \quad k_l = 0, \dots, p-1,$$

где хотя бы один из  $k_l$  не равен нулю;

$$\psi_{k;jn}(x) = p^{-\frac{dj}{2}} \psi_k(p^j x - n), \quad x \in \mathbb{Q}_p^d, \quad j \in \mathbb{Z}, \quad n \in \mathbb{Q}_p^d / \mathbb{Z}_p^d,$$

$$n = (n^{(1)}, \dots, n^{(d)}), \quad n^{(l)} = \sum_{i=\beta_l}^{-1} n_i^{(l)} p^i,$$

$$n_i^{(l)} = 0, \dots, p-1, \quad \beta_l \in \mathbb{Z}_-.$$

## Альтернативные выборы метрики

( $q_i$ , не равные друг другу,  $p^{-1} < q_i \leq 1$ ) —

появляются промежуточные шары между  $\mathbb{Z}_p^d$  и  $p\mathbb{Z}_p^d$  —  
базисы всплесков с матричными растяжениями

$$A = \begin{pmatrix} 0 & 1 & 0 & \dots & 0 \\ 0 & 0 & 1 & \dots & 0 \\ \vdots & & & & \vdots \\ 0 & 0 & \dots & 0 & 1 \\ p & 0 & \dots & 0 & 0 \end{pmatrix},$$

Quincunx basis ( $p = 2$ )

$$Q = \begin{pmatrix} 1 & -1 \\ 1 & 1 \end{pmatrix}.$$

**Пример применения 2-мерной 2-адической метрики:**  
генетический код на 2-адической плоскости.

Кодоны (тройки нуклеотидов) кодируют аминокислоты.

64 кодона, 20 аминокислот – код вырожден.

Набор всех кодонов (64 элемента) естественным образом  
нумеруется 2-адической плоскостью  $8 \times 8$  с 2-мерной  
2-адической метрикой

$$d_{1,q}((x, y), (x', y')) = \max(|x - x'|_2, q|y - y'|_2), \quad 1/2 < q < 1,$$

$$x = (x_0 x_1 x_2) = x_0 + 2x_1 + 4x_2, \quad x_i = 0, 1,$$

$$y = (y_0 y_1 y_2) = y_0 + 2y_1 + 4y_2, \quad y_i = 0, 1.$$

Применение к такой таблице кодонов  $8 \times 8$  митохондриального генетического кода даёт параметризацию кода, относительно которой близкие в метрике  $d_{1,q}$  кодоны отображаются в одинаковые аминокислоты, а немного менее близкие – в похожие (гидрофобные аминокислоты кластеризуются в этой метрике):

Lys Asn	Glu Asp	Ter Ser	Gly
Ter Tyr	Gln His	Trp Cys	Arg
Met Ile	Val	Thr	Ala
Leu Phe	Leu	Ser	Pro

## Кластеризация – иерархическая классификация данных.

Данные размечаются иерархической системой (частично упорядоченным деревом) кластеров. В типичном случае кластеры строятся по метрике на данных.

**Мультикластеризация** — несколько систем кластеров на тех же данных. Несколько метрик, различные метрики порождают различные деревья кластеров.

Сети кластеров с циклами — циклы возникают, когда кластеры относительно разных метрик совпадают как множества.

A.Strehl, J.Ghosh, C.Cardie, *Cluster ensembles — a knowledge reuse framework for combining multiple partitions*. Journal of Machine Learning Research, 2002. 3. P.583–617.

*p*-Адический случай: сети кластеров связаны с аффинными билдингами Брюа–Титса.

Кластеризация по ближайшему соседу:

$(M, \rho)$  – метрическое пространство.

$a = x_0, x_1, \dots, x_{n-1}, x_n = b$  —  $\varepsilon$ -цепь в пространстве  $(M, \rho)$ .

Цепное расстояние между  $a$  и  $b$ :

$d(a, b) = \inf(\varepsilon: \text{существует } \varepsilon\text{-цепь между } a, b).$

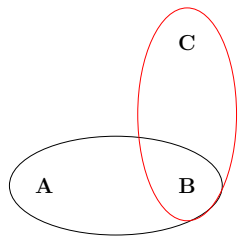
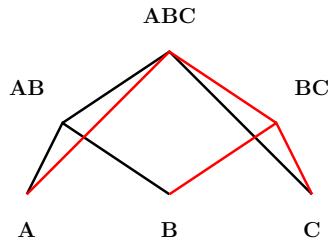
все свойства ультраметрики кроме невырожденности  
(несовпадающие точки могут иметь нулевое цепное  
расстояние).

Цепное расстояние определяет ультраметрику на множестве  
классов эквивалентности точек в  $M$ , где  $a, b$  лежат в одном  
классе эквивалентности, если  $d(a, b) = 0$ .

Кластер — шар относительно цепного расстояния.

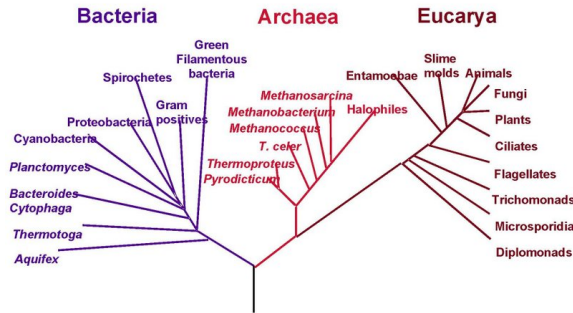
Кластеризация — покрытие пространства  $(M, \rho)$  кластерами.

Мультикластеризация — несколько метрик на  $M$ , несколько  
деревьев кластеров. Деревья склеиваются в сеть.



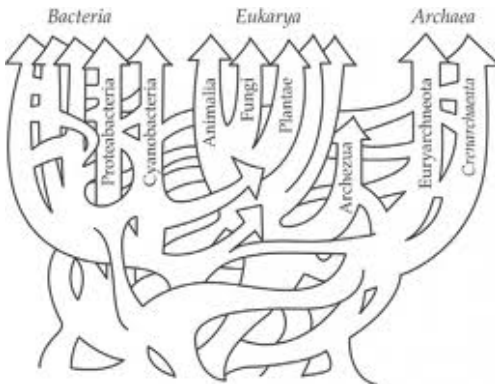
Кластеризация в науках о жизни: дерево жизни  
Карл Линней, *Systema Naturae*, 1735

## Phylogenetic Tree of Life



Рибосомное дерево жизни  
Карл Вёзе, 1977, 1985

# Филогенетическая сеть



Е.В. Кунин, Логика случая. О природе и происхождении биологической эволюции, Центрполиграф, 2014

Циклы — связь с мультикластеризацией?

# Мультикластеризация в $p$ -адических пространствах $\mathbb{Q}_p^d$ : связь с аффинными билдингами Брюа–Титса (симплексальными комплексами классов эквивалентности решёток).

Шары в  $\mathbb{Q}_p^d$ , содержащие нуль — решётки (открытые компактные  $\mathbb{Z}_p$ -модули). Симплексальный комплекс шаров относительно мультикластеризации по семейству метрик — шары, не обязательно содержащие нуль. Ограничение на шары с центром в нуле и факторизация по растяжениям на степени  $p$  даёт аффинный билдинг.

Общий случай мультикластеризации по семейству метрик: можно определить структуру симплексального комплекса и соответствующее понятие размерности.

Таким образом, можно рассмотреть аналоги билдингов и многомерной иерархии в общих конструкциях анализа данных.

## Заключение

*p*-Адические всплески — деревья шаров, группы автоморфизмов таких деревьев, базисы всплесков — системы когерентных состояний. Всплески как собственные вектора псевдодифференциальных операторов.

Многомерные иерархические системы.

Пример многомерной иерархии — 2-адическая плоскость генетического кода.

Анализ данных — кластеризация, мультикластеризация, сети кластеров, аналогия с аффинными билдингами, размерность общих сетей кластеров.